

**SCI-CONF.COM.UA**

# **EUROPEAN SCIENTIFIC CONGRESS**



**PROCEEDINGS OF XII INTERNATIONAL  
SCIENTIFIC AND PRACTICAL CONFERENCE  
DECEMBER 25-27, 2023**

**MADRID  
2023**

# **EUROPEAN SCIENTIFIC CONGRESS**

Proceedings of XII International Scientific and Practical Conference  
Madrid, Spain  
25-27 December 2023

**Madrid, Spain**

**2023**

## **UDC 001.1**

The 12<sup>th</sup> International scientific and practical conference “European scientific congress” (December 25-27, 2023) Barca Academy Publishing, Madrid, Spain. 2023. 705 p.

**ISBN 978-84-15927-34-1**

The recommended citation for this publication is:

*Ivanov I. Analysis of the phaunistic composition of Ukraine // European scientific congress. Proceedings of the 12th International scientific and practical conference. Barca Academy Publishing. Madrid, Spain. 2023. Pp. 21-27. URL: <https://sci-conf.com.ua/xii-mizhnarodna-naukovo-praktichna-konferentsiya-european-scientific-congress-25-27-12-2023-madrid-ispaniya-arhiv/>.*

**Editor**  
**Komarytskyy M.L.**  
*Ph.D. in Economics, Associate Professor*

Collection of scientific articles published is the scientific and practical publication, which contains scientific articles of students, graduate students, Candidates and Doctors of Sciences, research workers and practitioners from Europe, Ukraine and from neighbouring countries and beyond. The articles contain the study, reflecting the processes and changes in the structure of modern science. The collection of scientific articles is for students, postgraduate students, doctoral candidates, teachers, researchers, practitioners and people interested in the trends of modern science development.

**e-mail:** [madrid@sci-conf.com.ua](mailto:madrid@sci-conf.com.ua)

**homepage:** <https://sci-conf.com.ua>

©2023 Scientific Publishing Center “Sci-conf.com.ua” ®

©2023 Barca Academy Publishing ®

©2023 Authors of the articles

39.	<i>Піотровський В. С.</i>	188
	МЕТОДИ КЛАСИФІКАЦІЇ ДАНИХ В СИСТЕМАХ МЕДИЧНОЇ ДІАГНОСТИКИ	
40.	<i>Присяжний Ю. О.</i>	190
	МЕТОДИКА СТЕЖЕННЯ ЗА АВТОМОБІЛЯМИ НА ОСНОВІ АНАЛІЗУ ДАНИХ ДОРОЖНІХ КАМЕР	
41.	<i>Пузій Б. А., Тесленко О. К.</i>	193
	МАЙБУТНЕ ВЕБ-СКРЕПІНГУ: ТЕНДЕНЦІЇ ТА НОВІ МОЖЛИВОСТІ	
42.	<i>Романюк О. Д., Теліпко Л. П., Романюк Я. О., Невстакай О. С.</i>	196
	ЗАДАЧА ОПТИМІЗАЦІЇ ПАРАМЕТРІВ МАШИННОГО АГРЕГАТУ ПО КРИТЕРІЮ КОЕФІЦІЄНТА КОРИСНОЇ ДІЇ	
43.	<i>Сеник А. П., Ільяшук Т. Т.</i>	201
	ДОСЛІДЖЕННЯ ТА ПОРІВНЯЛЬНИЙ АНАЛІЗ DENOISING МОДЕЛЕЙ ГЛИБИННОГО НАВЧАННЯ	
44.	<i>Синяк О. Г., Науменко М. С., Мукоїд Р. М.</i>	205
	ХОЛОДНЕ ОХМЕЛЕННЯ ЯК СПОСІБ ПОКРАЩЕННЯ ПИВА	
45.	<i>Суранов О. О.</i>	209
	ВИЗНАЧЕННЯ ОПТИМАЛЬНОЇ КІЛЬКОСТІ ДОБАВОК ШТУЧНИХ ВУГЛЕЦЕВИХ СПОЛУК ФУЛЕРЕНІВ ТА НАНОТРУБОК ДЛЯ ПІДВИЩЕННЯ МАСТИЛЬНОЇ ЗДАТНОСТІ ІНДУСТРІАЛЬНИХ ОЛИВ	
46.	<i>Усенко Р. В., Реп'ях С. І., Кулеба А. В., Чорнокнижний О. С.</i>	211
	МАТЕРІАЛИ ТЕХНОГЕННОГО ПОХОДЖЕННЯ В ТОЧНОМУ ЛІТВІ	
47.	<i>Чимишир В. В.</i>	214
	ВИКОРИСТАННЯ РЕКУРЕНТНИХ НЕЙРОННИХ МЕРЕЖ ДЛЯ ПРОГНОЗУВАННЯ ЧАСОВИХ РЯДІВ	
48.	<i>Шевченко С. М., Потапчук І. Ю., Жевжик О. В.</i>	217
	МАТЕМАТИЧНЕ МОДЕлювання ПРОЦЕСІВ ТЕПЛОМАСООБМІНУ В РОЗПИЛЮВАЛЬНІЙ СУШАРЦІ	
49.	<i>Янко У. В., Падун А. О.</i>	223
	РЕКРЕАЦІЙНА ЦІННІСТЬ ЕКОСИСТЕМНИХ ПОСЛУГ ЛІСІВ ЛЬВІВЩИНИ	

#### PHYSICAL AND MATHEMATICAL SCIENCES

50.	<i>Janchuk P.</i>	227
	APPROXIMATION BY SUMS OF QS-FOURIER SERIES	

#### GEOGRAPHICAL SCIENCES

51.	<i>Koval R.</i>	235
	FIRE DANGER INDEX FOR UKRAINE	

# **МАТЕМАТИЧНЕ МОДЕЛЮВАННЯ ПРОЦЕСІВ ТЕПЛОМАСООБМІНУ В РОЗПИЛОВАЛЬНИЙ СУШАРЦІ**

**Шевченко С. М.**

Студент

**Потапчук І. Ю.,**

к.т.н., доцент

**Жевжик О. В.,**

к.т.н., доцент

Український державний університет науки і технологій  
м. Дніпро, Україна

**Вступ.** Сушіння розпилюванням застосовується для одержання порошкоподібних продуктів із різних матеріалів: розчинів, суспензій і паст в хімічній, медичній, мікробіологічній, харчової промисловості.

Такий спосіб сушіння не дивлячись на значні габарити апарати порівнянні з іншими установками, має ряд переваг: стабільність і простота здійснення процесу диспергування і сушіння в одному апараті, однорідність кінцевого продукту, збереження цінних складових та інші. Це призвело до широкого розповсюдження розпилювальних сушарок як в Україні, так і за кордоном.

Вибір типу розпилюючого пристрою обумовлюється конструктивною простотою і витратами енергії на розпилювання.

Зараз найбільш поширене розпилювання за допомогою відцентрованого диску і форсунок. Конструктивно більш простий спосіб розпилювання – саме за допомогою форсунок. Витрати енергії на розпилювання 1000 кг продукту у дискових складає – 15 кВт, механічних форсунок 10 – 13 кВт. Тобто з точки зору енерго- та ресурсозбереження більш привабливе і перспективне також форсункове розпилювання.

В той же час недоліком такого розпилювання для високов'язких емульсій є необхідність створення високого тиску на розпилювання. Математичне моделювання процесу сушіння диспергованої емульсії дозволяє вибрati

оптимальні розміри розпилювача і зменшити тиск розпилювання. Це дозволить, як наслідок, зменшити витрати енергії на одержання сухого продукту.

**Ціль роботи.** Побудувати математичну модель сушіння краплин емульсії (згущеного молока) та виконати розрахунки температури і вологості частинок; провести аналіз результатів.

**Матеріали та методи.** Сушильна камера рис 1. виконана у вигляді прямокутного короба з двосхилим конічним днищем. У торцевої частини сушильної камери змонтовані два кільцевих повітророзподільні, що мають спеціальні отвори для 16 форсунок, об'єднаних загальним колектором. У нижній частині сушильної камери змонтований шнек для видалення висушеного порошку. На верхньому перекритті сушильної камери змонтовані фільтри, калорифер і вентилятори.

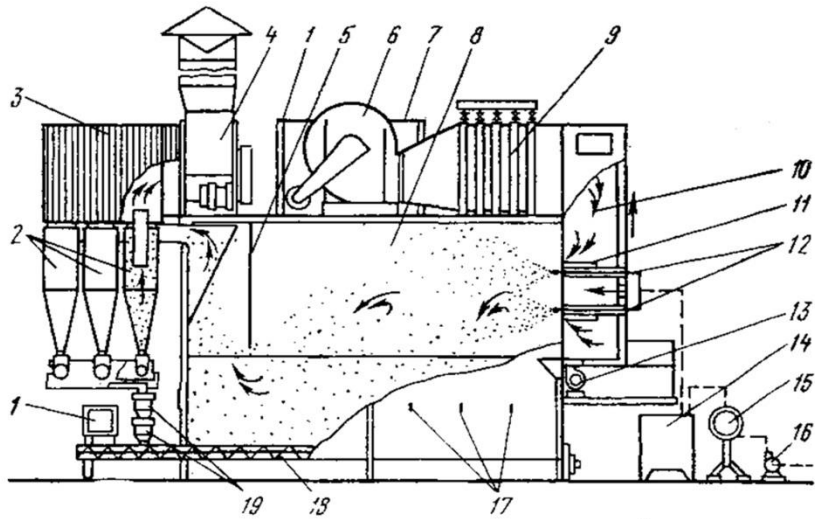
Сушильна установка облаштована батареєю з 16 паралельно діючих циклонів і пневмотранспортною лінією.

Сушіння здійснюється в такий спосіб: продукт, що розпилюється форсунками, підхоплюється потоком повітря, висушується і частково осідає на вертикальній і конічній внутрішній поверхнях сушильної камери. Взаємодія потоку з нагрітим повітрям камери обумовлює рівень випареної води.

Під дією пневматичних вібраторів молочний порошок струшується зі стінок і шнеком виводиться із сушильної камери.

Інша частина порошку разом з відпрацьованим повітрям, надходить у циклони. З циклонів порошок надходить у проміжні шнеки, звідки через розвантажувальний шлюз подається в шнек і потім надходить у пневмотранспортну лінію і далі на фасування.

Виходячи з такого уявлення про сушильну установку та процеси, які в ній протікають, була розроблена математична модель тепломасообміну краплинного потоку.



**Рис. 1. Принципова схема сушарки**

1 – повітряний фільтр; 2 – циклони; 3 – повітряний колектор; 4 – витяжний вентилятор; 5 – перегородка; 6 – нагнітальний вентилятор; 7 – камера повітряних фільтрів; 8 – сушильна камера; 9 – калорифер; 10 – повітропровід; 11 – направляючі пластини; 12 – форсунки; 13 – допоміжний вентилятор; 14 – плунжерний насос високого тиску; 15 – трубчастий підігрівник; 16 – відцентровий насос; 17 – пневматичні вібратори; 18 – шнек; 19 – розвантажувальний шлюз; 20 – вентилятор пневмотранспорту; 21 – розвантажувальний циклон; 22 – сито; 23 – пневмотранспортна лінія; 24 – проміжні шнеки.

Математична модель складається з рівняння руху центра мас краплині в повітрі у полі сили тяжіння [1, 2]:

$$\frac{d(m\vec{V})}{d\tau} = -\vec{F}_{ae} + m\vec{g}, \quad \frac{d\vec{X}}{d\tau} = \vec{V},$$

де  $m$  – маса краплині;  $\tau$  – час;  $\vec{V} = \{V_x, V_y, V_z\}$  – вектор швидкості

краплині;  $\vec{U} = \{U_x, U_y, U_z\}$  – вектор швидкості повітря в камері;

$\vec{X} = \{x, y, z\}$  – радіус-вектор центра мас краплині;  $d$  – діаметр краплині;

$\vec{F}_{ae} = -C_k \pi d^2 \rho_{e,n} |\vec{V} - \vec{U}| (\vec{V} - \vec{U}) / 8$  – сила аеродинамічного опору;

$C_k = 24 / Re + 4,4 / \sqrt{Re} + 0,32$  – коефіцієнт аеродинамічного опору кулі;

$$Re = \rho_{e.n.} d \frac{\vec{V} - \vec{U}}{\mu_{e.n.}} - \text{число Рейнольдса.}$$

Рівняння матеріального балансу для краплинни суспензії:

$$\frac{dm}{d\tau} = -I,$$

де  $I = \beta_{pf} f_k (\rho_h^\theta - \rho_n)$  – потік пари від краплинни;  $\beta_{pf}$  - коефіцієнт масовіддачі від краплинни;  $f_k$  - поверхня нагрівання краплинни;  $\rho_h^\theta$ ,  $\rho_n$  – густина насиченої пари біля краплинни;  $\rho_n$  - густина пари в камері.

Рівняння для зміни температури краплинни на траєкторії:

$$\frac{d}{d\tau} \theta = - \frac{f_k}{m \cdot Cp} [\alpha_f (\theta - T) + \beta_{pf} (\rho_h^\theta - \rho_n) L],$$

де  $\theta$ ,  $T$  – температури краплинни і повітря в камері;  $Cp$  – теплоємність краплинни;  $\alpha_f$  – коефіцієнт тепловіддачі;  $L$  – питома теплота випаровування краплин.

Рівняння зміни температури повітря:

$$\frac{d}{dz} T = - \frac{S_e f_{num}}{G_{c.n} Cp_{e.n}} [\alpha_f (\theta - T) + \beta_{pf} (\rho_h^\theta - \rho_n) (Cp\theta - Cp_n T)],$$

де  $S_e$  – площа поперечного перерізу камери;  $f_{num} = \pi d^2 \cdot n$  – питома поверхня краплин в 1 м<sup>3</sup> камери;  $n$  – кількість краплин в 1 м<sup>3</sup>;  $G_{cn}$  – витрата сухого повітря через камеру;  $Cp_{en}$ ,  $Cp_n$  – питомі теплоємності вологого повітря та пари відповідно.

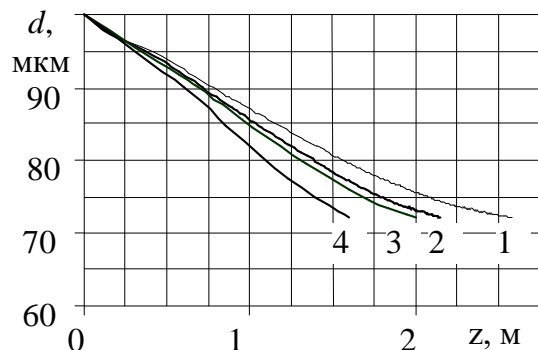
Рівняння зміни абсолютної вологості пари в краплинному потоці

$$\frac{d}{dz} \rho_n = \frac{\rho_{c.n} S_e f_{num}}{G_{c.n}} \beta_{pf} (\rho_h^\theta - \rho_n).$$

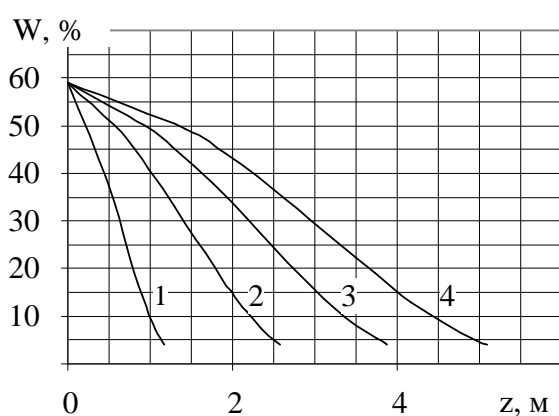
Ця система диференціальних рівнянь доповнюється залежностями для визначення коефіцієнтів тепло- і масовіддачі, теплофізичних властивостей речовин, швидкостей газу в камері, а також відповідними початковими і граничними умовами.

Розв'язати систему диференціальних рівнянь можна, наприклад, методом Рунге-Кутти.

**Результати та обговорення.** Розрахунки за рівняннями математичної моделі (рис. 2, 3) виконані для витрати згущеного молока 1745 кг/год, витрати сухого повітря 25000 кг/год, фактичної густини частинок кінцевого продукту 1200 кг/м<sup>3</sup>, початкового діаметру краплин 50...200 мкм, температури повітря перед сушильною камерою 140...240 °C, початкової вологості згущеного молока 40–70 %, потрібної кінцевої вологості частинок 4 %, температури атмосферного повітря перед повітряпідігрівачем 25 °C, відносної вологості 60 %, атмосферного тиску повітря 101325 Па, початкової радіальної швидкості краплин на виході з розпилювача 0, осьової швидкості 25,2 м/с, 18,6 м/с, кута розкриття факелу розпилювача 45°.



**Рис. 2. Розмір частинок на траєкторії при температурі повітря, °C:**  
1 - 170, 2 - 190, 3 - 200, 4 - 240



**Рис. 3. Вологість частинок при дисперсності d, мкм:**  
1 - 50, 2 - 100, 3 - 150, 4 - 200

На рис. 2 наведена залежність розміру частинки (краплин) на траєкторії польоту для температурі повітря на вході в камеру сушиння 170...240 °C. Із графіку на рис. 2 випливає, що краплина з початковим діаметром 100 мкм має

кінцевий діаметр 72 мкм при вологості 4 %. Збільшення температури повітря на вході в сушарку зменшує потрібну для висушування дальність польоту частинок з 2,55 м при  $T = 170$  °C до 1,6 м при  $T = 240$  °C, що обумовлене більш інтенсивним випарюванням. Тобто збільшення температури  $T$  дозволяє зменшити габарити апарату, але необхідно враховувати можливість збільшення температури частинок до критичної  $T_{\text{кр}} = 95$  °C, при якій втрачається якість кінцевого продукту. На рис. 3 наведена вологість частинок молока по довжині камери в залежності від дисперсності розпилювання. Високодисперсне розпилювання дозволяє суттєво скоротити довжину сушарки. Так, потрібна вологість 4 % для краплин із діаметром  $d = 200$  мкм досягається на довжині 5,1 м, а при  $d = 50$  мкм – на 1,2 м, що обумовлено збільшенням поверхні тепломасообміну краплинного потоку. В той же час зменшення дисперсності пов'язане зі збільшенням тиску на розпилювання і, як наслідок, збільшенням витрат енергії на сушіння.

**Висновки.** Побудована математична модель дозволяє провести дослідження температур та вологості частинок і повітря по довжині камери сушарки в залежності від дисперсності розпилювання та інших параметрів. Визначені потрібна дисперсність розпилювання для досягнення потрібної кінцевої вологості частинок на визначеній довжині сушарки та початкова температура повітря, яке подається на сушіння, коли кінцева температура частинок не перевищує заданої максимальної.

## ЛІТЕРАТУРА

1. Рівномірність розподілу рідини в розпилювальних градирнях з плівковими відцентровими розпилювачами / Б. О. Блюсс, С. В. Дзюба, О. В. Жевжик, І. Ю. Потапчук // Вісник Дніпровського університету. Серія: Механіка. / ДНУ. – Дніпро : Ліра ЛТД, 2021. – №6. Т.29. Вип. 25. – С. 3-10.
2. Мележик О. І., Кобець А. С., Жевжик О. В. Відцентровий розпилювач пестицидів: рух і випаровування краплин у факелі / Вісник Дніпропетровського державного аграрного університету. – 2007. -№1, -с. 97-101.